

УДК 681.3.513

Е. А. Никулин

СИНТЕЗ КУБИЧЕСКИХ СПЛАЙНОВ МЕТОДОМ ПЕРЕКРЫТИЯ ПАРАБОЛ

Нижегородский государственный технический университет им. Р. Е. Алексеева

Тема работы: Разработка алгоритма построения кубических сплайнов методом перекрытия парабол.**Цель работы:** Развитие матричных алгоритмов синтеза полиномиальных линий и поверхностей.**Метод решения:** Линейная интерполяция параболических линий на интервале их перекрытия.**Оригинальность:** Разработан способ реализации краевых условий.**Выводы:** Получен алгоритм синтеза кубических перекрывающихся сплайнов с разными краевыми условиями.*Ключевые слова:* сплайн, сегмент, полином, краевые условия.

Статья посвящена разработке нового типа сплайна с конечным носителем, в основе которого лежит интерполяция перекрывающихся параболических кривых [1, 2], дополненная краевыми условиями, присущими кубическим сплайнам [1, 3]. В результате концевые сегменты составной линии становятся кубическими, тогда как все внутренние сегменты получаются кубическими благодаря линейной интерполяции линий второго порядка.

Пусть $\mathbf{P}_0\mathbf{P}_1\dots\mathbf{P}_n$ — полилиния в двух- или трехмерном пространстве, вершины которой являются узлами интерполяции, а $\mathbf{P}_{i-1}\mathbf{P}_i$, где $i \in [1, n]$ — отрезок, на котором строится i -й сегмент составной линии $\mathbf{p}_i(t)$, гладко сопряженный с соседними сегментами. Полиномиальная модель m -й степени имеет вид параметрической векторной функции

$$\mathbf{p}(t) = \mathbf{s}_0 + \mathbf{s}_1 t + \dots + \mathbf{s}_m t^m = \mathbf{S} \mathbf{T}_m(t),$$

где $\mathbf{S} = [\mathbf{s}_0 \ \mathbf{s}_1 \ \dots \ \mathbf{s}_m]$ — строчный вектор полиномиальных коэффициентов (ВПК), а $\mathbf{T}_m(t) = [1 \ t \ t^2 \ \dots \ t^m]^T$ — столбцовый вектор базисных функций. В дальнейшем нам понадобятся векторы его первой $\mathbf{T}'_m(t) = [0 \ 1 \ 2t \ \dots \ mt^{m-1}]^T$ и второй $\mathbf{T}''_m(t) = [0 \ 0 \ 2 \ \dots \ m(m-1)t^{m-2}]^T$ производных.

Поставим задачу синтеза модели i -го сегмента сплайна $\mathbf{p}_i(t) = \mathbf{S}_i \mathbf{T}_3(t)$, т. е. вычисления ее ВПК \mathbf{S}_i посредством линейной интерполяции параболических линий, перекрывающихся на i -м интервале и исследования путей реализации краевых условий в точках \mathbf{P}_0 и \mathbf{P}_n .

Сначала используем метод локальной нормализованной параметризации, в котором отсчет параметра $t \in [0, 1]$ на всех интервалах начинается с нуля и длины всех интервалов равны единице. Составим кубический полином i -го сегмента как линейную интерполяцию

$$\mathbf{p}_i(t) = (1-t)\mathbf{l}_i(t) + t\mathbf{r}_i(t) \quad \forall t \in [0, 1], \quad i = \overline{1, n}, \quad (1a)$$

левого и правого параболических сегментов

$$\mathbf{l}_i(t) = \mathbf{L}_i \mathbf{T}_2(t), \quad \mathbf{r}_i(t) = \mathbf{R}_i \mathbf{T}_2(t). \quad (1b)$$

На тех интервалах, где эти сегменты не зависят от краевых условий (рис. 1, а), их ВПК находятся решением уравнений трехузловой интерполяции:

$$\begin{aligned} \mathbf{L}_i &= [\mathbf{P}_{i-2} \ \mathbf{P}_{i-1} \ \mathbf{P}_i] [\mathbf{T}_2(-1) \ \mathbf{T}_2(0) \ \mathbf{T}_2(1)]^{-1} = [\mathbf{P}_{i-2} \ \mathbf{P}_{i-1} \ \mathbf{P}_i] \begin{bmatrix} 1 & 1 & 1 \\ -1 & 0 & 1 \\ 1 & 0 & 1 \end{bmatrix}^{-1} = \\ &= \left[\mathbf{P}_{i-1} \ \frac{-\mathbf{P}_{i-2} + \mathbf{P}_i}{2} \ \frac{\mathbf{P}_{i-2} - 2\mathbf{P}_{i-1} + \mathbf{P}_i}{2} \right] \forall i = \overline{2, n}, \end{aligned} \tag{1в}$$

$$\begin{aligned} \mathbf{R}_i &= [\mathbf{P}_{i-1} \ \mathbf{P}_i \ \mathbf{P}_{i+1}] [\mathbf{T}_2(0) \ \mathbf{T}_2(1) \ \mathbf{T}_2(2)]^{-1} = [\mathbf{P}_{i-1} \ \mathbf{P}_i \ \mathbf{P}_{i+1}] \begin{bmatrix} 1 & 1 & 1 \\ 0 & 1 & 2 \\ 0 & 1 & 4 \end{bmatrix}^{-1} = \\ &= \left[\mathbf{P}_{i-1} \ \frac{-3\mathbf{P}_{i-1} + 4\mathbf{P}_i - \mathbf{P}_{i+1}}{2} \ \frac{\mathbf{P}_{i-1} - 2\mathbf{P}_i + \mathbf{P}_{i+1}}{2} \right] \forall i = \overline{1, n-1}. \end{aligned}$$

Тогда из (1а, б) следует узловая модель **внутреннего** сегмента

$$\begin{aligned} \mathbf{p}_i(t) &= \mathbf{L}_i(1-t)\mathbf{T}_2(t) + \mathbf{R}_i t \mathbf{T}_2(t) = \\ &= \left[\mathbf{P}_{i-1} \ \frac{-\mathbf{P}_{i-2} + \mathbf{P}_i}{2} \ \frac{\mathbf{P}_{i-2} - 2\mathbf{P}_{i-1} + \mathbf{P}_i}{2} \right] \begin{bmatrix} 1-t \\ t-t^2 \\ t^2-t^3 \end{bmatrix} + \left[\mathbf{P}_{i-1} \ \frac{-3\mathbf{P}_{i-1} + 4\mathbf{P}_i - \mathbf{P}_{i+1}}{2} \ \frac{\mathbf{P}_{i-1} - 2\mathbf{P}_i + \mathbf{P}_{i+1}}{2} \right] \begin{bmatrix} t \\ t^2 \\ t^3 \end{bmatrix} (1г) \\ &= \mathbf{P}_{i-1} + \frac{-\mathbf{P}_{i-2} + \mathbf{P}_i}{2} t + \frac{2\mathbf{P}_{i-2} - 5\mathbf{P}_{i-1} + 4\mathbf{P}_i - \mathbf{P}_{i+1}}{2} t^2 + \frac{-\mathbf{P}_{i-2} + 3\mathbf{P}_{i-1} - 3\mathbf{P}_i + \mathbf{P}_{i+1}}{2} t^3 \quad \forall i = \overline{2, n-1}, \end{aligned}$$

удовлетворяющая условиям интерполяции $\mathbf{p}_i(0) = \mathbf{P}_{i-1}$, $\mathbf{p}_i(1) = \mathbf{P}_i$.

Точно такие же коэффициенты кубического полинома $\mathbf{p}_i(t) = \mathbf{S}_i \mathbf{T}_3(t)$ при степенях параметра t получим с помощью операций расширения ВПК парабол нулевыми элементами \mathbf{O} , повышающими степени полиномов со второй до третьей:

$$\begin{aligned} \mathbf{S}_i &= [\mathbf{L}_i \ \mathbf{O}] - [\mathbf{O} \ \mathbf{L}_i] + [\mathbf{O} \ \mathbf{R}_i] = \\ &= \left[\mathbf{P}_{i-1} \ \frac{-\mathbf{P}_{i-2} + \mathbf{P}_i}{2} \ \frac{\mathbf{P}_{i-2} - 2\mathbf{P}_{i-1} + \mathbf{P}_i}{2} \ \mathbf{O} \right] - \left[\mathbf{O} \ \mathbf{P}_{i-1} \ \frac{-\mathbf{P}_{i-2} + \mathbf{P}_i}{2} \ \frac{\mathbf{P}_{i-2} - 2\mathbf{P}_{i-1} + \mathbf{P}_i}{2} \right] + \\ &\quad + \left[\mathbf{O} \ \mathbf{P}_{i-1} \ \frac{-3\mathbf{P}_{i-1} + 4\mathbf{P}_i - \mathbf{P}_{i+1}}{2} \ \frac{\mathbf{P}_{i-1} - 2\mathbf{P}_i + \mathbf{P}_{i+1}}{2} \right] = \\ &= \left[\mathbf{P}_{i-1} \ \frac{-\mathbf{P}_{i-2} + \mathbf{P}_i}{2} \ \frac{2\mathbf{P}_{i-2} - 5\mathbf{P}_{i-1} + 4\mathbf{P}_i - \mathbf{P}_{i+1}}{2} \ \frac{-\mathbf{P}_{i-2} + 3\mathbf{P}_{i-1} - 3\mathbf{P}_i + \mathbf{P}_{i+1}}{2} \right]. \end{aligned} \tag{1д}$$

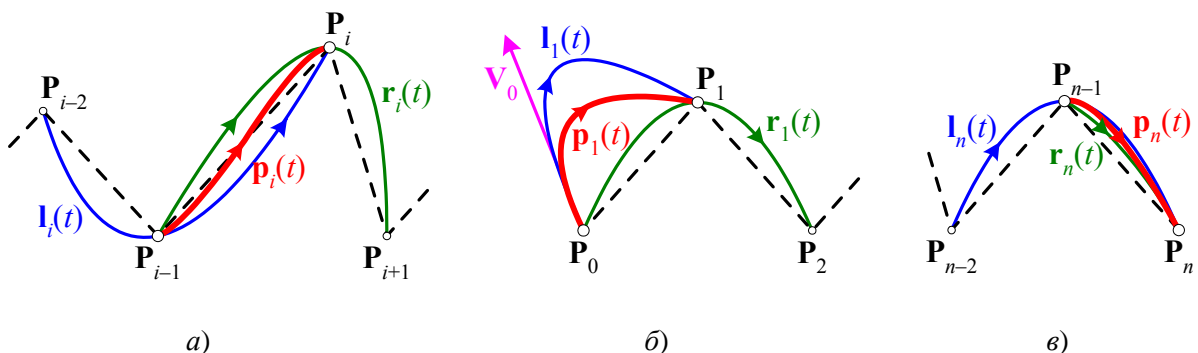


Рис. 1. Интерполяция параболических сегментов

В отличие от (1в, г) модели параболических $\mathbf{I}_1(t)$, $\mathbf{r}_n(t)$ и кубических $\mathbf{p}_1(t)$, $\mathbf{p}_n(t)$ сегментов зависят от краевых условий в точках \mathbf{P}_0 и \mathbf{P}_n . Например, для **первого** сегмента с начальным направлением \mathbf{V}_0 (рис. 1,б) ВПК левой и правой парабол имеют следующий вид:

$$\begin{aligned} \mathbf{L}_1 &= [\mathbf{V}_0 \ \mathbf{P}_0 \ \mathbf{P}_1] [\mathbf{T}'_2(0) \ \mathbf{T}_2(0) \ \mathbf{T}_2(1)]^{-1} = [\mathbf{V}_0 \ \mathbf{P}_0 \ \mathbf{P}_1] \begin{bmatrix} 0 & 1 & 1 \\ 1 & 0 & 1 \\ 0 & 0 & 1 \end{bmatrix}^{-1} = [\mathbf{P}_0 \ \mathbf{V}_0 \ -\mathbf{V}_0 - \mathbf{P}_0 + \mathbf{P}_1], \\ \mathbf{R}_1 &= [\mathbf{P}_0 \ \mathbf{P}_1 \ \mathbf{P}_2] [\mathbf{T}_2(0) \ \mathbf{T}_2(1) \ \mathbf{T}_2(2)]^{-1} = [\mathbf{P}_0 \ \mathbf{P}_1 \ \mathbf{P}_2] \begin{bmatrix} 1 & 1 & 1 \\ 0 & 1 & 2 \\ 0 & 1 & 4 \end{bmatrix}^{-1} = \\ &= \begin{bmatrix} \mathbf{P}_{01} & \frac{-3\mathbf{P}_0 + 4\mathbf{P}_1 - \mathbf{P}_2}{2} & \frac{\mathbf{P}_0 - 2\mathbf{P}_1 + \mathbf{P}_2}{2} \end{bmatrix}. \end{aligned} \quad (2a)$$

Тогда из (1а, б) следует узловая эрмитова модель первого сегмента, удовлетворяющая условиям $\mathbf{p}_1(0) = \mathbf{P}_0$, $\mathbf{p}_1(1) = \mathbf{P}_1$ и $\mathbf{p}'_1(0) = \mathbf{V}_0$:

$$\begin{aligned} \mathbf{p}_1(t) &= \mathbf{L}_1(1-t)\mathbf{T}_2(t) + \mathbf{R}_1 t \mathbf{T}_2(t) = \\ &= [\mathbf{P}_0 \ \mathbf{V}_0 \ -\mathbf{V}_0 - \mathbf{P}_0 + \mathbf{P}_1] \begin{bmatrix} 1-t \\ t-t^2 \\ t^2-t^3 \end{bmatrix} + \begin{bmatrix} \mathbf{P}_0 & \frac{-3\mathbf{P}_0 + 4\mathbf{P}_1 - \mathbf{P}_2}{2} & \frac{\mathbf{P}_0 - 2\mathbf{P}_1 + \mathbf{P}_2}{2} \end{bmatrix} \begin{bmatrix} t \\ t^2 \\ t^3 \end{bmatrix} = \\ &= \mathbf{P}_0 + \mathbf{P}_0 t + \frac{-4\mathbf{P}_0 - 5\mathbf{P}_0 + 6\mathbf{P}_1 - \mathbf{P}_2}{2} t^2 + \frac{2\mathbf{P}_0 + 3\mathbf{P}_0 - 4\mathbf{P}_1 + \mathbf{P}_2}{2} t^3. \end{aligned} \quad (2б)$$

Что до краевого условия $\mathbf{p}''_1(0) = \mathbf{A}_0$, то оно, вопреки ожиданиям, не реализуется вычислением вектора \mathbf{L}_1 по образцу (2а) как

$$\mathbf{L}_1 = [\mathbf{A}_0 \ \mathbf{P}_0 \ \mathbf{P}_1] [\mathbf{T}''_2(0) \ \mathbf{T}_2(0) \ \mathbf{T}_2(1)]^{-1} = [\mathbf{A}_0 \ \mathbf{P}_0 \ \mathbf{P}_1] \begin{bmatrix} 0 & 1 & 1 \\ 0 & 0 & 1 \\ 2 & 0 & 1 \end{bmatrix}^{-1} = \begin{bmatrix} \mathbf{P}_0 & -\frac{\mathbf{A}_0}{2} - \mathbf{P}_0 + \mathbf{P}_1 & \frac{\mathbf{A}_0}{2} \end{bmatrix}.$$

Подставив его в (2б) вместе с вектором \mathbf{R}_1 из (2а), получим

$$\begin{aligned} \mathbf{p}_1(t) &= \mathbf{L}_1(1-t)\mathbf{T}_2(t) + \mathbf{R}_1 t \mathbf{T}_2(t) = \\ &= \begin{bmatrix} \mathbf{P}_0 & -\frac{\mathbf{A}_0}{2} - \mathbf{P}_0 + \mathbf{P}_1 & \frac{\mathbf{P}_0}{2} \end{bmatrix} \begin{bmatrix} 1-t \\ t-t^2 \\ t^2-t^3 \end{bmatrix} + \begin{bmatrix} \mathbf{P}_0 & \frac{-3\mathbf{P}_0 + 4\mathbf{P}_1 - \mathbf{P}_2}{2} & \frac{\mathbf{P}_0 - 2\mathbf{P}_1 + \mathbf{P}_2}{2} \end{bmatrix} \begin{bmatrix} t \\ t^2 \\ t^3 \end{bmatrix} = \\ &= \mathbf{P}_0 + \frac{-\mathbf{A}_0 - 2\mathbf{P}_0 + 2\mathbf{P}_1}{2} t + \frac{2\mathbf{A}_0 - \mathbf{P}_0 + 2\mathbf{P}_1 - \mathbf{P}_2}{2} t^2 + \frac{-2\mathbf{A}_0 + \mathbf{P}_0 - 2\mathbf{P}_1 + \mathbf{P}_2}{2} t^3 \end{aligned}$$

и ускорение $\mathbf{p}''_1(0) = 2\mathbf{A}_0 - \mathbf{P}_0 + 2\mathbf{P}_1 - \mathbf{P}_2$. Причина его несовпадения с \mathbf{A}_0 в том, что в отличие от (1а) вторая производная $\mathbf{p}''_i(t)$ не является линейной интерполяцией $(1-t)\mathbf{I}'_i(t) + t\mathbf{r}''_i(t)$, отсюда $\mathbf{p}''_i(0) \neq \mathbf{I}''_i(0)$! Для достижения успеха нужно создать векторы

$$\mathbf{A} = (\mathbf{A}_0 + \mathbf{P}_0 - 2\mathbf{P}_1 + \mathbf{P}_2)/2,$$

$$\mathbf{L}_1 = [\mathbf{A} \ \mathbf{P}_0 \ \mathbf{P}_1] \begin{bmatrix} 0 & 1 & 1 \\ 0 & 0 & 1 \\ 2 & 0 & 1 \end{bmatrix}^{-1} = \begin{bmatrix} \mathbf{P}_0 & -\frac{\mathbf{A}}{2} - \mathbf{P}_0 + \mathbf{P}_1 & \frac{\mathbf{A}}{2} \end{bmatrix} = \begin{bmatrix} \mathbf{P}_0 & \frac{-\mathbf{A}_0 - 5\mathbf{P}_0 + 6\mathbf{P}_1 - \mathbf{P}_2}{4} & \frac{\mathbf{A}_0 + \mathbf{P}_0 - 2\mathbf{P}_1 + \mathbf{P}_2}{4} \end{bmatrix}. \quad (2в)$$

Тогда вместе с вектором \mathbf{R}_1 из (2а), аналогично (2б), получим

$$\begin{aligned} \mathbf{p}_1(t) &= \begin{bmatrix} \mathbf{P}_0 & \frac{-\mathbf{A}_0 - 5\mathbf{P}_0 + 6\mathbf{P}_1 - \mathbf{P}_2}{4} & \frac{\mathbf{A}_0 + \mathbf{P}_0 - 2\mathbf{P}_1 + \mathbf{P}_2}{4} \end{bmatrix} \begin{bmatrix} 1-t \\ t-t^2 \\ t^2-t^3 \end{bmatrix} + \\ &+ \begin{bmatrix} \mathbf{P}_0 & \frac{-3\mathbf{P}_0 + 4\mathbf{P}_1 - \mathbf{P}_2}{2} & \frac{\mathbf{P}_0 - 2\mathbf{P}_1 + \mathbf{P}_2}{2} \end{bmatrix} \begin{bmatrix} t \\ t^2 \\ t^3 \end{bmatrix} = \\ &= \mathbf{P}_0 + \frac{-\mathbf{A}_0 - 5\mathbf{P}_0 + 6\mathbf{P}_1 - \mathbf{P}_2}{4} t + \frac{\mathbf{A}_0}{2} t^2 + \frac{-\mathbf{A}_0 + \mathbf{P}_0 - 2\mathbf{P}_1 + \mathbf{P}_2}{4} t^3. \end{aligned} \quad (2г)$$

Проверяем: $\mathbf{p}_1(0)=\mathbf{P}_0$, $\mathbf{p}_1(1)=\mathbf{P}_1$ и $\mathbf{p}_1''(0)=\mathbf{A}_0$ — все правильно! При желании создать в начале сплайна свободный конец задается нулевой вектор $\mathbf{A}_0=\mathbf{O}$.

Для **последнего** сегмента $\mathbf{p}_n(t)$ с конечным направлением \mathbf{V}_n ВПК левой и правой парабол имеют следующий вид:

$$\mathbf{L}_n = [\mathbf{P}_{n-2} \ \mathbf{P}_{n-1} \ \mathbf{P}_n] \begin{bmatrix} 1 & 1 & 1 \\ -1 & 0 & 1 \\ 1 & 0 & 1 \end{bmatrix}^{-1} = \left[\mathbf{P}_{n-1} \quad \frac{-\mathbf{P}_{n-2} + \mathbf{P}_n}{2} \quad \frac{\mathbf{P}_{n-2} - 2\mathbf{P}_{n-1} + \mathbf{P}_n}{2} \right],$$

$$\mathbf{R}_n = [\mathbf{P}_{n-1} \ \mathbf{P}_n \ \mathbf{V}_n] [\mathbf{T}_2(0) \ \mathbf{T}_2(1) \ \mathbf{T}_2'(1)]^{-1} = [\mathbf{P}_{n-1} \ \mathbf{P}_n \ \mathbf{V}_n] \begin{bmatrix} 1 & 1 & 0 \\ 0 & 1 & 1 \\ 0 & 1 & 2 \end{bmatrix}^{-1} =$$

$$= [\mathbf{P}_{n-1} \ -2\mathbf{P}_{n-1} + 2\mathbf{P}_n - \mathbf{V}_n \ \mathbf{P}_{n-1} - \mathbf{P}_n + \mathbf{V}_n].$$
(3а)

Тогда из (1а, б) следует узловая эрмитова модель конечного сегмента

$$\mathbf{p}_n(t) = \left[\mathbf{P}_{n-1} \quad \frac{-\mathbf{P}_{n-2} + \mathbf{P}_n}{2} \quad \frac{\mathbf{P}_{n-2} - 2\mathbf{P}_{n-1} + \mathbf{P}_n}{2} \right] \begin{bmatrix} 1-t \\ t-t^2 \\ t^2-t^3 \end{bmatrix} +$$

$$+ \left[\mathbf{P}_{n-1} \ -2\mathbf{P}_{n-1} + 2\mathbf{P}_n - \mathbf{V}_n \ \mathbf{P}_{n-1} - \mathbf{P}_n + \mathbf{V}_n \right] \begin{bmatrix} t \\ t^2 \\ t^3 \end{bmatrix} =$$

$$= \mathbf{P}_{n-1} + \frac{-\mathbf{P}_{n-2} + \mathbf{P}_n}{2} t + (\mathbf{P}_{n-2} - 3\mathbf{P}_{n-1} + 2\mathbf{P}_n - \mathbf{V}_n) t^2 + \frac{-\mathbf{P}_{n-2} + 4\mathbf{P}_{n-1} - 3\mathbf{P}_n + 2\mathbf{V}_n}{2} t^3.$$
(3б)

Сами убедитесь, что $\mathbf{p}_n(0)=\mathbf{P}_{n-1}$, $\mathbf{p}_n(1)=\mathbf{P}_n$ и $\mathbf{p}_n'(1)=\mathbf{V}_n$.

И, наконец, для реализации краевого условия $\mathbf{p}_n''(1)=\mathbf{A}_n$ создадим векторы

$$\mathbf{A} = (\mathbf{P}_{n-2} - 2\mathbf{P}_{n-1} + \mathbf{P}_n + \mathbf{A}_n) / 2,$$

$$\mathbf{R}_n = [\mathbf{P}_{n-1} \ \mathbf{P}_n \ \mathbf{A}_n] [\mathbf{T}_2(0) \ \mathbf{T}_2(1) \ \mathbf{T}_2'(1)]^{-1} = [\mathbf{P}_{n-1} \ \mathbf{P}_n \ \mathbf{A}] \begin{bmatrix} 1 & 1 & 0 \\ 0 & 1 & 0 \\ 0 & 1 & 2 \end{bmatrix}^{-1} =$$

$$= \left[\mathbf{P}_{n-1} \quad -\mathbf{P}_{n-1} + \mathbf{P}_n - \frac{\mathbf{A}}{2} \quad \frac{\mathbf{A}}{2} \right] = \left[\mathbf{P}_{n-1} \quad \frac{-\mathbf{P}_{n-2} - 2\mathbf{P}_{n-1} + 3\mathbf{P}_n - \mathbf{A}_n}{4} \quad \frac{\mathbf{P}_{n-2} - 2\mathbf{P}_{n-1} + \mathbf{P}_n + \mathbf{A}_n}{4} \right].$$
(3в)

Тогда вместе с вектором \mathbf{L}_n из (3а) аналогично (3б) получим

$$\mathbf{p}_n(t) = \left[\mathbf{P}_{n-1} \quad \frac{-\mathbf{P}_{n-2} + \mathbf{P}_n}{2} \quad \frac{\mathbf{P}_{n-2} - 2\mathbf{P}_{n-1} + \mathbf{P}_n}{2} \right] \begin{bmatrix} 1-t \\ t-t^2 \\ t^2-t^3 \end{bmatrix} +$$

$$+ \left[\mathbf{P}_{n-1} \quad \frac{-\mathbf{P}_{n-2} - 2\mathbf{P}_{n-1} + 3\mathbf{P}_n - \mathbf{A}_n}{4} \quad \frac{\mathbf{P}_{n-2} - 2\mathbf{P}_{n-1} + \mathbf{P}_n + \mathbf{A}_n}{4} \right] \begin{bmatrix} t \\ t^2 \\ t^3 \end{bmatrix} =$$

$$= \mathbf{P}_{n-1} + \frac{-\mathbf{P}_{n-2} + \mathbf{P}_n}{2} t + \frac{3\mathbf{P}_{n-2} - 6\mathbf{P}_{n-1} + 3\mathbf{P}_n - \mathbf{A}_n}{4} t^2 + \frac{-\mathbf{P}_{n-2} + 2\mathbf{P}_{n-1} - \mathbf{P}_n + \mathbf{A}_n}{4} t^3.$$
(3г)

Проверка $\mathbf{p}_n(0)=\mathbf{P}_{n-1}$, $\mathbf{p}_n(1)=\mathbf{P}_n$ и $\mathbf{p}_n''(1)=\mathbf{A}_n$ подтверждает правильность полученной модели последнего сегмента. При желании создать сплайн со свободным правым концом задается нулевой вектор $\mathbf{A}_n=\mathbf{O}$ (рис. 1, в).

Полный нормализованный сплайн, фрагменты которого приведены на рис. 1, построен на рис. 2. Там же пунктирными линиями показано, что изменения узловой точки и краевых векторов распространяются на конечное число сегментов, а точки более дальних сегментов остаются неподвижными.

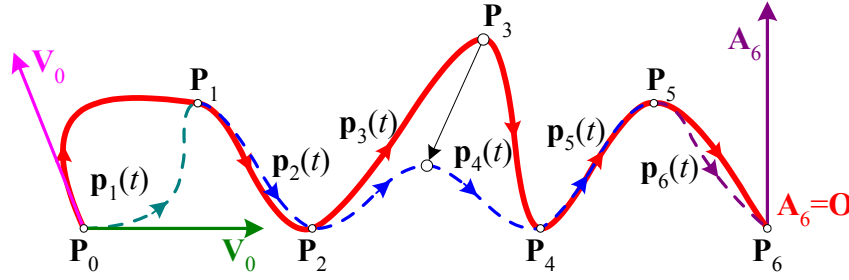


Рис. 2. Конечные свойства сплайна

Составим из узловых точек $\mathbf{P}_0 \div \mathbf{P}_n$ и краевых векторов \mathbf{V}_0 и \mathbf{A}_n вектор из $n+3$ -х возмущающих факторов $\mathbf{F} = [\mathbf{P}_0 \ \mathbf{P}_1 \ \dots \ \mathbf{P}_n \ \mathbf{V}_0 \ \mathbf{A}_n]$. На рис. 2 хорошо видно, что смещение какой-либо узловой точки \mathbf{P}_k с номером $k \in [0, n]$ влияет на форму не более чем двух примыкающих к ней как слева, так и справа сегментов, а изменения факторов $\mathbf{F}_{n+1} \equiv \mathbf{V}_0$ и $\mathbf{F}_{n+2} \equiv \mathbf{A}_n$ воздействуют только на крайние сегменты:

- согласно соотношению (2б), на **первом** ($i=1$) интервале $t \in [0, 1)$ активны возмущающие факторы $\mathbf{F}_0 \div \mathbf{F}_2$ и \mathbf{F}_{n+1} , откуда же получаем интервальные весовые функции (ВФ)

$$l_1^{(k)}(t) = \begin{cases} 1 - 2.5t^2 + 1.5t^3 & \text{при } k=0; \\ 3t^2 - 2t^3 & \text{при } k=1; \\ -0.5t^2 + 0.5t^3 & \text{при } k=2; \\ t - 2t^2 + t^3 & \text{при } k=n+1; \\ 0 & \text{при остальных } k; \end{cases} \quad (4a)$$

- распределив зависимость (1г) по узловым точкам, сформируем интервальные ВФ влияния k -х возмущающих факторов на точки **внутренних** i -х сегментов, используя нормализованные сквозной $t \in [i-1, i)$ и локальный $\tau = t - i + 1 \in [0, 1)$ параметры:

$$l_i^{(k)}(t) = \begin{cases} -0.5\tau + \tau^2 - 0.5\tau^3 & \text{при } k=i-2; \\ 1 - 2.5\tau^2 + 1.5\tau^3 & \text{при } k=i-1; \\ 0.5\tau + 2\tau^2 - 1.5\tau^3 & \text{при } k=i; \\ -0.5\tau^2 + 0.5\tau^3 & \text{при } k=i+1; \\ 0 & \text{при остальных } k; \end{cases} \quad (4б)$$

- наконец, на **последнем** ($i=n$) интервале $t \in [n-1, n]$ с локальным параметром $\tau = t - n + 1 \in [0, 1]$, судя по (3б), активны факторы $\mathbf{F}_{n-2} \div \mathbf{F}_n$ и \mathbf{F}_{n+2} с интервальными ВФ

$$l_n^{(k)}(t) = \begin{cases} -0.5\tau + \tau^2 - 0.5\tau^3 & \text{при } k=n-2; \\ 1 - 3\tau^2 + 2\tau^3 & \text{при } k=n-1; \\ 0.5\tau + 2\tau^2 - 1.5\tau^3 & \text{при } k=n; \\ -\tau^2 + \tau^3 & \text{при } k=n+2; \\ 0 & \text{при остальных } k. \end{cases} \quad (4в)$$

С помощью ВФ (4) представление i -го сегмента выглядит взвешенной смесью

$$\mathbf{p}_i(t) = \sum_k l_i^{(k)}(t) \mathbf{F}_k \quad \forall t \in [i-1, i], \quad i = \overline{1, n}. \quad (5a)$$

Интервальные ВФ с одинаковым значением k сшиваются в факторные ВФ

$$l_k(t) = \sum_{i=1}^n l_i^{(k)}(t) \quad \forall k = \overline{0, n+2}, \quad (5б)$$

характеризующие влияние возмущающих факторов \mathbf{F}_k на весь сплайн. На рис. 3 построены

восемь графиков факторных ВФ (нулевых интервальных ВФ показаний нет), соответствующих перекрывающемуся сплайну на рис. 2. С помощью вектора $\mathbf{L}(t)=[l_0(t) \ l_1(t) \ \dots \ l_{n+2}(t)]^T$ полный сплайн представляется в виде

$$\mathbf{p}(t) = \sum_{k=0}^{n+2} l_k(t) \mathbf{F}_k = \mathbf{F} \mathbf{L}(t) \quad \forall t \in [0, n]. \tag{5B}$$

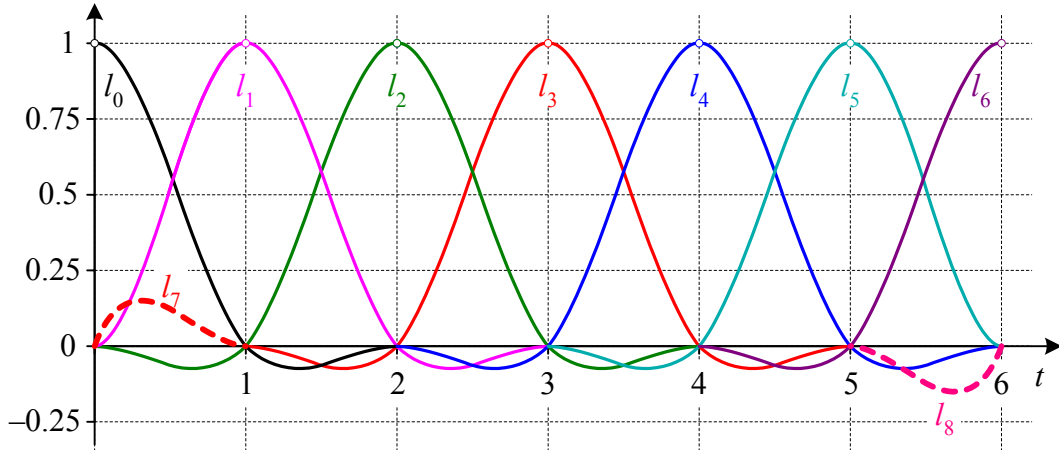


Рис. 3. Факторные весовые функции

Обобщим тему построением сегментов перекрывающегося сплайна $\mathbf{p}_i(t)$ на интервалах $t \in [a_i, b_i]$ с $b_i = a_i + d_i$ и произвольно выбранной параметризацией — локальной ($a_i = 0$) либо сквозной ($b_i = a_{i+1}$), нормализованной ($d_i = 1$) либо хордовой ($d_i = |\mathbf{P}_i - \mathbf{P}_{i-1}|$), где d_i — длина i -го параметрического интервала.

Обобщением модели (1а) является линейная интерполяция

$$\mathbf{p}_i(t) = \mathbf{l}_i(t) \frac{b_i - t}{d_i} + \mathbf{r}_i(t) \frac{t - a_i}{d_i} \quad \forall t \in [a_i, b_i], \quad i = \overline{1, n} \tag{6a}$$

левой $\mathbf{l}_i(t) = \mathbf{L}_i \mathbf{T}_2(t)$ и правой $\mathbf{r}_i(t) = \mathbf{R}_i \mathbf{T}_2(t)$ парабол, у которых векторы коэффициентов независимы от краевых условий (см. рис. 1) и находятся обобщением (1в) как

$$\begin{aligned} \mathbf{L}_i &= [\mathbf{P}_{i-2} \ \mathbf{P}_{i-1} \ \mathbf{P}_i] [\mathbf{T}_2(a_i - d_{i-1}) \ \mathbf{T}_2(a_i) \ \mathbf{T}_2(b_i)]^{-1} \quad \forall i = \overline{2, n}, \\ \mathbf{R}_i &= [\mathbf{P}_{i-1} \ \mathbf{P}_i \ \mathbf{P}_{i+1}] [\mathbf{T}_2(a_i) \ \mathbf{T}_2(b_i) \ \mathbf{T}_2(b_i + d_{i+1})]^{-1} \quad \forall i = \overline{1, n-1}. \end{aligned} \tag{6б}$$

Глядя на (6а), запишем обобщающие (1д) ВПК кубических сегментов $\mathbf{p}_i(t) = \mathbf{S}_i \mathbf{T}_3(t)$:

$$\mathbf{S}_i = \frac{b_i [\mathbf{L}_i \ \mathbf{O}] - [\mathbf{O} \ \mathbf{L}_i] + [\mathbf{O} \ \mathbf{R}_i] - a_i [\mathbf{R}_i \ \mathbf{O}]}{d_i} \quad \forall i = \overline{1, n}. \tag{6в}$$

Модели параболических $\mathbf{l}_1(t)$, $\mathbf{r}_n(t)$ и кубических $\mathbf{p}_1(t)$, $\mathbf{p}_n(t)$ сегментов зависят от краевых условий в точках \mathbf{P}_0 и \mathbf{P}_n . Для *первого* эрмитова сегмента с заданным начальным направлением \mathbf{V}_0 (см. рис. 1,б) ВПК левой параболы находится обобщением (2а):

$$\mathbf{L}_1 = [\mathbf{V}_0 \ \mathbf{P}_0 \ \mathbf{P}_1] [\mathbf{T}'_2(a_1) \ \mathbf{T}_2(a_1) \ \mathbf{T}_2(b_1)]^{-1}. \tag{7a}$$

Что касается краевого условия $\mathbf{p}'_1(a_1) = \mathbf{A}_0$ с заданным ускорением \mathbf{A}_0 , то оно реализуется расчетом вектора

$$\mathbf{L}_1 = [\mathbf{A} \ \mathbf{P}_0 \ \mathbf{P}_1] [\mathbf{T}''_2(a_1) \ \mathbf{T}_2(a_1) \ \mathbf{T}_2(b_1)]^{-1} \tag{7б}$$

с таким вектором \mathbf{A} , который создает в начале сплайна ускорение $\mathbf{F}(\mathbf{A})=\mathbf{Z}+k\mathbf{A}$, равное \mathbf{A}_0 . Подходящие вектор \mathbf{Z} и скалярный коэффициент k этой линейной функции находим по двум выборкам:

- задаем нулевой вектор $\mathbf{A}=\mathbf{O}$ и по (7б) находим вектор \mathbf{L}_1 , а по (6в) вектор $\mathbf{S}_1\equiv[\mathbf{s}_0 \ \mathbf{s}_1 \ \mathbf{s}_2 \ \mathbf{s}_3]$ коэффициентов кубического сегмента $\mathbf{s}_0+\mathbf{s}_1t+\mathbf{s}_2t^2+\mathbf{s}_3t^3$ и его начальное ускорение $\mathbf{F}(\mathbf{O})=2\mathbf{s}_2+6\mathbf{s}_3a_1$, равное \mathbf{Z} ;
- задаем единичный вектор $\mathbf{A}=\mathbf{x}^0$, (\mathbf{x}^0 — единичный орт оси x) и по тем же формулам находим новые векторы \mathbf{L}_1 , \mathbf{S}_1 и $\mathbf{F}(\mathbf{x}^0)=2\mathbf{s}_2+6\mathbf{s}_3a_1=\mathbf{Z}+k\mathbf{x}^0$, откуда

$$k=(\mathbf{F}(\mathbf{x}^0)-\mathbf{Z})_x=F(\mathbf{x}^0)_x-\mathbf{Z}_x.$$

Теперь из условия $\mathbf{Z}+k\mathbf{A}=\mathbf{A}_0$ получаем искомое значение

$$\mathbf{A}=\frac{\mathbf{A}_0-\mathbf{Z}}{k}=\frac{\mathbf{A}_0-\mathbf{F}(\mathbf{O})}{\mathbf{F}(\mathbf{x}^0)_x-\mathbf{F}(\mathbf{O})_x}. \quad (7в)$$

Для создания у сплайна свободного левого конца берется вектор $\mathbf{A}_0=\mathbf{O}$.

У *последнего* эрмитова сегмента с заданным конечным направлением \mathbf{V}_n вектор коэффициентов правой параболы находится как

$$\mathbf{R}_n=[\mathbf{P}_{n-1} \ \mathbf{P}_n \ \mathbf{V}_n][\mathbf{T}_2(a_n) \ \mathbf{T}_2(b_n) \ \mathbf{T}'_2(b_n)]^{-1}. \quad (8а)$$

Краевое условие $\mathbf{p}''(b_n)=\mathbf{A}_n$ с заданным ускорением \mathbf{A}_n реализуется расчетом аналогичного (3в) вектора

$$\mathbf{R}_n=[\mathbf{P}_{n-1} \ \mathbf{P}_n \ \mathbf{A}_n][\mathbf{T}_2(a_n) \ \mathbf{T}_2(b_n) \ \mathbf{T}''_2(b_n)]^{-1} \quad (8б)$$

с найденным аналогично (7в) вектором \mathbf{A} , дающим конечное ускорение \mathbf{A}_n :

$$\mathbf{A}=\frac{\mathbf{A}_n-\mathbf{F}(\mathbf{O})}{\mathbf{F}(\mathbf{x}^0)_x-\mathbf{F}(\mathbf{O})_x}. \quad (8в)$$

Здесь значение $\mathbf{F}(\mathbf{A})$ от произвольного вектора \mathbf{A} находится расчетом по (8б) и (6в) векторов \mathbf{R}_n и $\mathbf{S}_n\equiv[\mathbf{s}_0 \ \mathbf{s}_1 \ \mathbf{s}_2 \ \mathbf{s}_3]$, после чего $\mathbf{F}(\mathbf{A})=2\mathbf{s}_2+6\mathbf{s}_3b_n$. Чтобы получить сплайн со свободным правым концом (см. рис. 1,в), нужно задать нулевой вектор $\mathbf{A}_n=\mathbf{O}$.

Обсудим вычислительную эффективность *интерактивного построения сегментов сплайна* при вариации узловых точек и краевых условий:

- использование сложных, но зато прямых формул (1г), (2б, г) и (3б, г) оказалось возможным только после их достаточно трудоемкого вывода и лишь в нормализованном локальном варианте параметризации, что ограничивает их универсальность;
- применение несложных интерполяционных формул (1а), (6а) либо параметрического разложения $\mathbf{p}_i(t)=\mathbf{S}_i\mathbf{T}_3(t)$ требует пересчета векторов полиномиальных коэффициентов \mathbf{L}_i , \mathbf{R}_i и \mathbf{S}_i при каждом изменении любого возмущающего фактора. Для ускорения отрисовки сплайна можно ценой небольшого усложнения программы пересчитывать не все ВПК, а, благодаря конечности сплайна, лишь зависимые от изменяемого фактора;
- наиболее сложными в выводе (и опять лишь в рамках нормализованной локальной параметризации) являются поэлементное (5а) и общее (5б, в) узловое разложение, требующие тщательного программирования интервальных весовых функций (4).

С учетом сказанного разработаем метод расчета числовых матриц \mathbf{H}_i , с помощью которых интерактивный вывод сегментов по формуле бинарного разложения

$$\mathbf{p}_i(t) = \mathbf{U}_i \mathbf{H}_i \mathbf{T}_3(t) \quad \forall i = \overline{1, n}$$

происходит максимально быстро. К тому же при использовании нормализованной параметризации с равными значениями $d_i = 1 \quad \forall i = \overline{1, n}$ все эти матрицы становятся независимыми от возмущающих факторов.

Введем операции двустороннего расширения матрицы $\mathbf{H} \in \mathbb{R}^{3 \times 3}$ нулевыми строками и столбцами согласно направлениям надсимвольных стрелок:

$$\Downarrow \Rightarrow \mathbf{H} = \begin{bmatrix} \mathbf{H} & \mathbf{O}_{2 \times 1} \\ \mathbf{O}_{1 \times 2} & 0 \end{bmatrix}, \quad \Leftarrow \Downarrow \mathbf{H} = \begin{bmatrix} \mathbf{O}_{2 \times 1} & \mathbf{H} \\ 0 & \mathbf{O}_{1 \times 2} \end{bmatrix}, \quad \Uparrow \Rightarrow \mathbf{H} = \begin{bmatrix} \mathbf{O}_{1 \times 2} & 0 \\ \mathbf{H} & \mathbf{O}_{2 \times 1} \end{bmatrix}, \quad \Leftarrow \Uparrow \mathbf{H} = \begin{bmatrix} 0 & \mathbf{O}_{1 \times 2} \\ \mathbf{O}_{2 \times 1} & \mathbf{H} \end{bmatrix}. \quad (9)$$

Сформируем из возмущающих факторов (узловых точек $\mathbf{P}_0 \div \mathbf{P}_n$ и векторов конечных производных, например, \mathbf{V}_0 и \mathbf{A}_n) такой вектор

$$\mathbf{F} = \left[\underbrace{\mathbf{V}_0 \quad \mathbf{P}_0 \quad \mathbf{P}_1 \quad \mathbf{P}_2 \quad \mathbf{P}_3}_{\mathbf{U}_2} \quad \dots \quad \underbrace{\mathbf{P}_{n-2} \quad \mathbf{P}_{n-1} \quad \mathbf{P}_n \quad \mathbf{A}_n}_{\mathbf{U}_n} \right],$$

чтобы по нему можно было перемещать слева направо четырехэлементный шаблон факторов

i -го интервала $\mathbf{U}_i = \begin{bmatrix} \mathbf{U}_{Li} \\ \bullet & \bullet & \bullet \\ \mathbf{U}_{Ri} \end{bmatrix}$, содержащий перекрывающиеся трехэлементные узловые векторы \mathbf{U}_{Li} и \mathbf{U}_{Ri} левой и правой парабол в (6а).

Записав ВПК этих парабол как $\mathbf{L}_i = \mathbf{U}_{Li} \mathbf{H}_{Li}$ и $\mathbf{R}_i = \mathbf{U}_{Ri} \mathbf{H}_{Ri}$ с элементами

$$\mathbf{U}_{Li} = [\mathbf{P}_{i-2} \quad \mathbf{P}_{i-1} \quad \mathbf{P}_i], \quad \mathbf{H}_{Li} = [\mathbf{T}_2(a_i - d_{i-1}) \quad \mathbf{T}_2(a_i) \quad \mathbf{T}_2(b_i)]^{-1} \quad \forall i = \overline{2, n},$$

$$\mathbf{U}_{Ri} = [\mathbf{P}_{i-1} \quad \mathbf{P}_i \quad \mathbf{P}_{i+1}], \quad \mathbf{H}_{Ri} = [\mathbf{T}_2(a_i) \quad \mathbf{T}_2(b_i) \quad \mathbf{T}_2(b_i + d_{i+1})]^{-1} \quad \forall i = \overline{1, n-1},$$

получим бинарное разложение полинома i -го сегмента

$$\begin{aligned} \mathbf{p}_i(t) &= \mathbf{U}_{Li} \mathbf{H}_{Li} \frac{b_i - t}{d_i} \mathbf{T}_2(t) + \mathbf{U}_{Ri} \mathbf{H}_{Ri} \frac{t - a_i}{d_i} \mathbf{T}_2(t) = \\ &= \frac{1}{d_i} \mathbf{U}_i \left(\begin{bmatrix} b_i \mathbf{H}_{Li} & \mathbf{O} \\ \mathbf{O} & 0 \end{bmatrix} - \begin{bmatrix} \mathbf{O} & \mathbf{H}_{Li} \\ 0 & \mathbf{O} \end{bmatrix} + \begin{bmatrix} 0 & \mathbf{O} \\ \mathbf{O} & \mathbf{H}_{Ri} \end{bmatrix} - \begin{bmatrix} \mathbf{O} & 0 \\ a_i \mathbf{H}_{Ri} & \mathbf{O} \end{bmatrix} \right) \mathbf{T}_3(t) \end{aligned}$$

со сформированной с помощью операций (9) матрицей

$$\mathbf{H}_i = d_i^{-1} \left(\Downarrow \Rightarrow \mathbf{H}_{Li} - \Leftarrow \Downarrow \mathbf{H}_{Li} + \Leftarrow \Uparrow \mathbf{H}_{Ri} - \Uparrow \Rightarrow \mathbf{H}_{Ri} \right) \quad \forall i = \overline{1, n} \quad (10)$$

В рамках локальной ($a_i = 0$) нормализованной ($d_{i-1} = d_i = d_{i+1} = b_i = 1$) параметризации с присутствующими в (1в) матрицами

$$\mathbf{H}_{Li} = \begin{bmatrix} 1 & 1 & 1 \\ -1 & 0 & 1 \\ 1 & 0 & 1 \end{bmatrix}^{-1} = \begin{bmatrix} 0 & -0.5 & 0.5 \\ 1 & 0 & -1 \\ 0 & 0.5 & 0.5 \end{bmatrix}, \quad \mathbf{H}_{Ri} = \begin{bmatrix} 1 & 1 & 1 \\ 0 & 1 & 2 \\ 0 & 1 & 4 \end{bmatrix}^{-1} = \begin{bmatrix} 1 & -1.5 & 0.5 \\ 0 & 2 & -1 \\ 0 & -0.5 & 0.5 \end{bmatrix}$$

по (10) получим матрицу

$$\begin{aligned} \mathbf{H}_i &= \Downarrow \Rightarrow \mathbf{H}_{Li} - \Leftarrow \Downarrow \mathbf{H}_{Li} + \Leftarrow \Uparrow \mathbf{H}_{Ri} = \\ &= \begin{bmatrix} 0 & -0.5 & 0.5 & 0 \\ 1 & 0 & -1 & 0 \\ 0 & 0.5 & 0.5 & 0 \\ 0 & 0 & 0 & 0 \end{bmatrix} - \begin{bmatrix} 0 & 0 & -0.5 & 0.5 \\ 0 & 1 & 0 & -1 \\ 0 & 0 & 0.5 & 0.5 \\ 0 & 0 & 0 & 0 \end{bmatrix} + \begin{bmatrix} 0 & 0 & 0 & 0 \\ 0 & 1 & -1.5 & 0.5 \\ 0 & 0 & 2 & -1 \\ 0 & 0 & -0.5 & 0.5 \end{bmatrix} = \begin{bmatrix} 0 & -0.5 & 1 & -0.5 \\ 1 & 0 & -2.5 & 1.5 \\ 0 & 0.5 & 2 & -1.5 \\ 0 & 0 & -0.5 & 0.5 \end{bmatrix}. \end{aligned}$$

Элементы моделей крайних сегментов, зависящих от краевых условий, имеют особый вид. Так, для *первого* сегмента с начальным направлением \mathbf{V}_0 из (7а) следует

$$\mathbf{U}_{L1} = [\mathbf{V}_0 \ \mathbf{P}_0 \ \mathbf{P}_1], \quad \mathbf{H}_{L1} = [\mathbf{T}'_2(a_1) \ \mathbf{T}_2(a_1) \ \mathbf{T}_2(b_1)]^{-1}.$$

В случае локальной ($a_1=0$) нормализованной ($d_1=b_1=1$) параметризации с матрицами из (2а)

$$\mathbf{H}_{L1} = \begin{bmatrix} 0 & 1 & 1 \\ 1 & 0 & 1 \\ 0 & 0 & 1 \end{bmatrix}^{-1} = \begin{bmatrix} 0 & 1 & -1 \\ 1 & 0 & -1 \\ 0 & 0 & 1 \end{bmatrix}, \quad \mathbf{H}_{R1} = \begin{bmatrix} 1 & 1 & 1 \\ 0 & 1 & 2 \\ 0 & 1 & 4 \end{bmatrix}^{-1} = \begin{bmatrix} 1 & -1.5 & 0.5 \\ 0 & 2 & -1 \\ 0 & -0.5 & 0.5 \end{bmatrix}$$

по (10) получим матрицу

$$\begin{aligned} \mathbf{H}_1 &= \mathbf{H}_{L1} - \mathbf{H}_{L1} + \mathbf{H}_{R1} = \\ &= \begin{bmatrix} 0 & 1 & -1 & 0 \\ 1 & 0 & -1 & 0 \\ 0 & 0 & 1 & 0 \\ 0 & 0 & 0 & 0 \end{bmatrix} - \begin{bmatrix} 0 & 0 & 1 & -1 \\ 0 & 1 & 0 & -1 \\ 0 & 0 & 0 & 1 \\ 0 & 0 & 0 & 0 \end{bmatrix} + \begin{bmatrix} 0 & 0 & 0 & 0 \\ 0 & 1 & -1.5 & 0.5 \\ 0 & 0 & 2 & -1 \\ 0 & 0 & -0.5 & 0.5 \end{bmatrix} = \begin{bmatrix} 0 & 1 & -2 & 1 \\ 1 & 0 & -2.5 & 1.5 \\ 0 & 0 & 3 & -2 \\ 0 & 0 & -0.5 & 0.5 \end{bmatrix}. \end{aligned}$$

Если же в начале сплайна задано ускорение \mathbf{A}_0 , то, вычислив по (7в) вектор \mathbf{A} , формируем элементы бинарного разложения левой параболы

$$\mathbf{U}_{L1} = [\mathbf{A} \ \mathbf{P}_0 \ \mathbf{P}_1], \quad \mathbf{H}_{L1} = [\mathbf{T}''_2(a_1) \ \mathbf{T}_2(a_1) \ \mathbf{T}_2(b_1)]^{-1}.$$

Для *последнего* сегмента с конечным направлением \mathbf{V}_n из (8б) следует

$$\mathbf{U}_{Rn} = [\mathbf{P}_{n-1} \ \mathbf{P}_n \ \mathbf{V}_n], \quad \mathbf{H}_{Rn} = [\mathbf{T}_2(a_n) \ \mathbf{T}_2(b_n) \ \mathbf{T}'_2(b_n)]^{-1}.$$

Если же в конце сплайна задано ускорение \mathbf{A}_n , то, вычислив по (8в) вектор \mathbf{A} , формируем элементы бинарного разложения правой параболы

$$\mathbf{U}_{Rn} = [\mathbf{P}_{n-1} \ \mathbf{P}_n \ \mathbf{A}], \quad \mathbf{H}_{Rn} = [\mathbf{T}_2(a_n) \ \mathbf{T}_2(b_n) \ \mathbf{T}''_2(b_n)]^{-1}.$$

В случае локальной ($a_n=0$) нормализованной ($d_n=b_n=1$) параметризации с присутствующими в (3а, в) матрицами

$$\mathbf{H}_{Ln} = \begin{bmatrix} 1 & 1 & 1 \\ -1 & 0 & 1 \\ 1 & 0 & 1 \end{bmatrix}^{-1} = \begin{bmatrix} 0 & -0.5 & 0.5 \\ 1 & 0 & -1 \\ 0 & 0.5 & 0.5 \end{bmatrix}, \quad \mathbf{H}_{Rn} = \begin{bmatrix} 1 & 1 & 0 \\ 0 & 1 & 0 \\ 0 & 1 & 2 \end{bmatrix}^{-1} = \begin{bmatrix} 1 & -1 & 0 \\ 0 & 1 & 0 \\ 0 & -0.5 & 0.5 \end{bmatrix}$$

по (10) получим матрицу

$$\begin{aligned} \mathbf{H}_n &= \mathbf{H}_{Ln} - \mathbf{H}_{Ln} + \mathbf{H}_{Rn} = \\ &= \begin{bmatrix} 0 & -0.5 & 0.5 & 0 \\ 1 & 0 & -1 & 0 \\ 0 & 0.5 & 0.5 & 0 \\ 0 & 0 & 0 & 0 \end{bmatrix} - \begin{bmatrix} 0 & 0 & -0.5 & 0.5 \\ 0 & 1 & 0 & -1 \\ 0 & 0 & 0.5 & 0.5 \\ 0 & 0 & 0 & 0 \end{bmatrix} + \begin{bmatrix} 0 & 0 & 0 & 0 \\ 0 & 1 & -1 & 0 \\ 0 & 0 & 1 & 0 \\ 0 & 0 & -0.5 & 0.5 \end{bmatrix} = \begin{bmatrix} 0 & -0.5 & 1 & -0.5 \\ 1 & 0 & -2.5 & 1.5 \\ 0 & 0 & 3 & -2 \\ 0 & 0 & -0.5 & 0.5 \end{bmatrix}. \end{aligned}$$

Работу алгоритма синтеза перекрывающегося сплайна иллюстрирует рис. 4:

- плоский сплайн 1 со свободными концами построен методом хордовой параметризации на той же неравномерной сетке, что и обычный сплайн 2, но демонстрирует более плотное прилегание к узловой сети;
- у трехмерного нормализованного сплайна 3 векторы краевых направлений $\mathbf{V}_0=10(\mathbf{P}_1-\mathbf{P}_0)$ и $\mathbf{V}_7=\mathbf{P}_7-\mathbf{P}_6$ заданы такими же, как у обычного эрмитова сплайна 4, но отклонения от узловой сети также уменьшились;
- последний график 5 показывает богатые возможности свободного творчества, предоставляемые разработанным сплайном с конечным носителем.

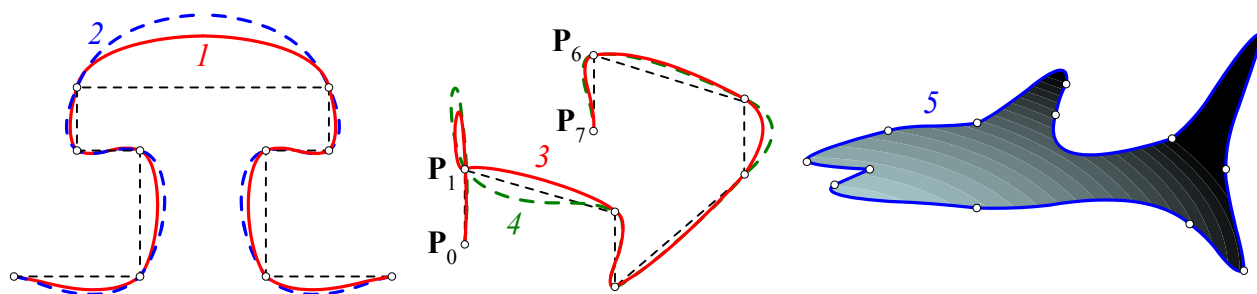


Рис. 4. Примеры реализации алгоритма

Таким образом, сплайны с перекрытием параболических сегментов показывают лучшее качество интерполирования в сравнении с типовыми кубическими сплайнами при меньшей вычислительной сложности, характеризуемой размерностями обрабатываемых матриц — 3×3 вместо $4n \times 4n$ в [3, (8)], даже 4×4 в итеративном алгоритме [3, (9)].

Главным недостатком перекрывающегося сплайна является пониженная, но визуально незаметная, степень гладкости сопряжения его сегментов — первая вместо второй в [3, (6в)]. Это означает скачки ускорения в точках сшивки сегментов. С другой стороны, разрывность кривизны сплайновой линии можно обратить на пользу для создания в стыках сегментов точек перегиба и расширения возможностей конструирования сложных линий.

Библиографический список

1. Роджерс, Д. Математические основы машинной графики / Д. Роджерс, Дж. Адамс. — М.: Мир, 2001. — 604 с.
2. Никулин, Е.А. Построение гладких составных линий с перекрытием сегментов // Труды НГТУ. 2006. Т. 58. Вып. 11. С. 5–12.
3. Никулин, Е.А. Прямой параметрический синтез сплайновых линий // Труды НГТУ. 2007. Т. 65. Вып. 14. С. 123–130.

Дата поступления
в редакцию 05.02.15

Е.А. Nikulin

SYNTHESIS OF CUBIC SPLINES BY OVERLAPPING PARABOLAS METHOD

Nizhny Novgorod state technical university n.a. R.E. Alexeev

Subject: Design of an algorithm for constructing cubic splines by method of overlapping parabolas.

Purpose: Development of matrix synthesis algorithms of polynomial curves and surfaces.

Methodology: Linear interpolation parabolic lines on the range of their overlap.

Originality: A method of implementing the boundary conditions is developed.

Findings: The algorithm of the synthesis of cubic splines overlapping with different boundary conditions is obtained.

Key words: spline, segment, polynome, boundary conditions.